

洪水追跡を対象とした奥河道のモデル化について

京都大学工学部	正員	岩佐 義朗
京都大学工学部	正員	常松 芳昭
建設省土木研究所	正員	○ 関 正和

1. はじめに

洪水追跡を行なう場合、複雑かつ不規則な奥河道を、本質を失なわず、単純な形で把握する必要がある。これには、連続型モデル（河道に沿う各地点で流量や水位を知りたい場合、奥河道に忠実なモデルが必要）と集中型モデル（河道のある数地点ごとのみその変動を知りたい場合、その地点間の河道は単純な形で把握）の二つが考えられる。前者では、河道の特性パラメーター（粗度係数、水面幅、河床勾配）の奥測値を δx ごとに与え、不定流の計算を行なうわけであるが、この場合、i) 解の安定性が悪い、ii) 奥際に死水域が生じているときには、不定流の数学的モデルの前提条件がみたされない、などの問題がある。

本文は、河道を後者、つまり、一様水路をいくつかないだ連結体としてモデル化することを考え、その手法と適用例について述べたものである。

2. 奥河道の一様水路への変換

奥河道を一様水路によって表現しようとする場合、各水路の特性パラメーターをどのように選ぶかが問題である。これは、一様水路へ変換しようとする現奥の河道区間を、その区間への流入流量を入力、流出流量を出力、貯留量を内部変数とした出入カシステムと考えれば、これら三つの変数の間の関係から決定されねばならない。そのためには、まず、一様水路における貯留方程式を誘導する。洪水流の基礎方程式は、

$$\frac{\partial H}{\partial t} + \frac{\partial Q'}{\partial x} = 0 \quad (1)$$

$$i - \left(1 - \frac{Q^2}{gH^3}\right) \frac{\partial H}{\partial x} = \frac{1}{gH} \frac{\partial Q'}{\partial t} + \frac{2Q' \frac{\partial Q'}{\partial x}}{gH^2} + \frac{n^2 Q'^2}{g^2 H^{10/3}} \quad (2)$$

ここに、 H : 水深、 Q' : 単位幅流量、 $i \approx (B/(B+2H_m))^{2/3}$ 、 H_m : 洪水時の平均水深である。上流端 $x=0$ において、図-1のようなハイドログラフが与えられたとき、高橋は適当な変数変換を用いて (1), (2) 式の無次元表示をえている¹⁾。それによれば、 $x=0$ 点における水深と水面勾配は、入の一次の項まで考慮すれば、次式で表わされる。

$$(h)_{x=0} = \left(\frac{f}{F_r}\right)^{3/5} + \left(\frac{6f}{125} - \frac{27f^2}{250F_r^{4/5}f^{1/5}}\right) \lambda \quad (3)$$

$$\left(\frac{\partial h}{\partial x}\right)_{x=0} = -\frac{9f}{25F_r^{4/5}f^{1/5}} + \left\{ \frac{1}{F_r^{3/5}f^{1/5}} \left(-\frac{162}{3125}f^2 + \frac{81}{625}ff \right) + \frac{1}{F_r^{3/5}f^{1/5}} \left(\frac{36}{3125}f^2 - \frac{36}{625}ff \right) \right\} \lambda \quad (4)$$

さて、ここで一様水路における洪水時の水面形は上・下流端における水深と水面勾配の条件、 $H_{x=0}$, $(\partial H/\partial x)_{x=0}$, $H_{x=L}$, $(\partial H/\partial x)_{x=L}$, をみたす三次曲線で表わせると仮定する。この

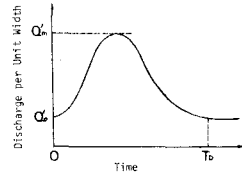


図-1 上流端ハイドログラフ

とき、上流端から下流端までの区間貯留量は

$$S = \int_0^L B \cdot H(x) dx$$

$$= \frac{BL}{2} (H_{x=0} + H_{x=L}) + \frac{BL^2}{12} \left\{ \left(\frac{\partial H}{\partial x} \right)_{x=0} - \left(\frac{\partial H}{\partial x} \right)_{x=L} \right\} \quad (5)$$

で表わされる。したがって、(3), (4)式をもとの次元になおし、(5)式に代入すれば、

$$S = \alpha(I^{3/5} + Q^{3/5}) + \beta\left(\frac{I}{I^{3/5}} + \frac{Q}{Q^{3/5}}\right) + \gamma(I + Q) - \frac{3}{25}\alpha^2\left(\frac{I}{I^{3/5}} - \frac{Q}{Q^{3/5}}\right) + \frac{4}{25}\alpha\beta\left(\frac{I^2}{I^{3/5}} - \frac{Q^2}{Q^{3/5}}\right) - \frac{2}{5}\alpha\beta\left(\frac{I}{I^{3/5}} - \frac{Q}{Q^{3/5}}\right) + \frac{2}{25}\alpha\gamma\left(\frac{I^2}{I^{3/5}} - \frac{Q^2}{Q^{3/5}}\right) - \frac{2}{5}\alpha\gamma\left(\frac{I}{I^{3/5}} - \frac{Q}{Q^{3/5}}\right) \quad (6)$$

となる。ここに、 I ：上流端からの流入流量、 Q ：下流端からの流出流量、 $\alpha = PLB^{3/5}/2$ 、 $\beta = -27P^3LB^{1/5}/500l$ 、 $\gamma = 3L/125gl$ 、 $P = I^{3/5}/l^{3/5}P^{3/5}$ 、 L ：河道区間長、 B ：水路幅である。これが一様水路における貯留方程式である。この各項を比較してみると、第一項がずばぬけて大きい(図-2)。したがって、

$$S \approx \alpha(I^{3/5} + Q^{3/5}) \approx KQ + KX(I - Q) \quad (7)$$

ここに、 $K = 2\alpha/Q^{3/5}$ 、 $X = 0.5$ と近似化でき、Muskingum法の物理的意義が明らかになる。また、第3、7、8の各項は非常に小さいので、以下の議論においては無視する。

さて、奥河道の一様水路への変換体、まず河道区間両端における洪水時のハイドログラフ I 、 Q から、時刻 $t=t_1, \dots, t_n$ のそれをについて、(6)式の括弧内と、 $S(t) = I - Q$ より)を計算し、ついで最小二乗法により α 、 β を求め、これより等価な水路幅 B および粗度係数 n を決定して行なわれる。

3. 奥河道への適用

木津川の加茂～飯岡区間にについて以上の議論を適用した。

図-3は、この区間を一様水路に変換したときの特性パラメーターの値を洪水規模との関係で表示したものである。対象区間の平均水面幅は約340m、平均粗度係数は0.026であるから、等価な一様水路の幅は小さく、粗度係数は大きく評価されていることがわかる。図-4は等価一様水路における洪水流の計算結果の一例であるが、奥河道の貯留効果による洪水の減衰をよく表わしている。

4. 連結部の処理

各一様水路間の連結部を、上・下両水路の特性パラメーターが線形変化する漸変部として取り扱えば、数値計算に便利である。

① Takahashi, T.; On the Flood Waves in a Prismatic Open Channel, Bull.

D.P.R.I., Kyoto Univ., Vol.19, 1970

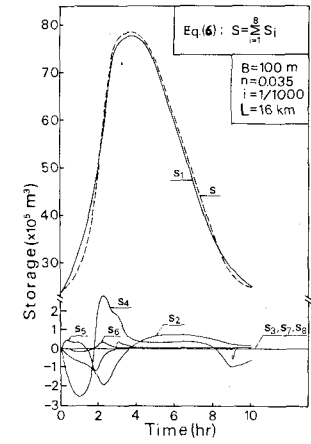


図-2 (6)式の各項の比較

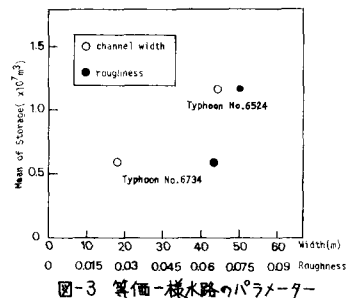


図-3 算価一様水路のパラメーター

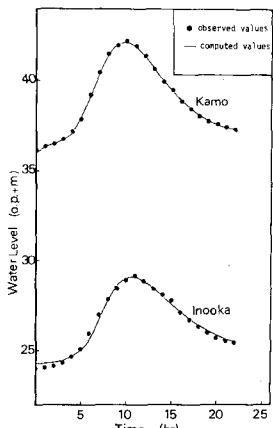


図-4 対測値と計算値の比較